

04; 09; 12

© 1993

РАДИОЛОКАЦИОННОЕ ОБНАРУЖЕНИЕ ОБЛАСТЕЙ  
ЛОКАЛЬНОЙ ИОНИЗАЦИИ В ПРИЗЕМНЫХ СЛОЯХ  
АТМОСФЕРЫК.А. Б о я р ч у к, Е.Н. К о н о н о в,  
Г.А. Л я х о в

Дистанционное зондирование следов ионизации в больших объемах газовой среды имеет широкий круг физико-химических, геофизических и экологических приложений, актуальнейшим из которых представляется обнаружение и идентификация радиоактивных источников. Существующие разнообразные методы (гамма-телескопия, тепловидение, спектроскопия электромагнитного излучения от радио- до ультрафиолетового диапазонов, контактный химический анализ) здесь достаточно продвинуты [1, 2], однако имеют ограничения – в приложении, например, к важной задаче обнаружения радиоактивных выбросов атомных электростанций (АЭС) – по совокупности параметров эффективности (дальность действия, чувствительность, время обработки данных, пространственное разрешение). Большая часть используемых методов основана на измерении вторичных эффектов радиоактивности; здесь, однако, существенно, что собственно поражающую способность выброса точнее всего характеризует именно его ионизирующее действие. Естественно поэтому обращение к радиолокационным методам, в широком диапазоне метеоусловий фактически прямо измеряющим степень ионизации облученного объема и обладающих возможностями повышения дальности, чувствительности и пространственного разрешения в реальном масштабе времени.

Первые наблюдения радиолокационного отклика от облака радиоактивного выброса осуществлено группой В.Б. Богданова в 1986 г. в районе Чернобыльской АЭС. Цикл представленных здесь экспериментов, проведенных в 1989–1992 г. в нескольких регионах, продемонстрировал работоспособность метода в различных погодных условиях и позволил наметить направления дальнейших исследований физических механизмов отклика.

Все наблюдения проведены с использованием локаторов штатных радиовысотометров и станций наведения сантиметрового и дециметрового диапазонов [3]. Общее число наблюдений составляет несколько сотен; объектами их служили Южно-Украинская, Запорожская, Ленинградская, Балаковская, Удомленская, Чернобыльская АЭС. По команде с АЭС о начале технологического выброса локатор начинал слежение от верхнего среза трубы; выделение сигнала от облака выброса на фоне гидromеторов осуществляла система селекции движущихся целей. Основной объем измерений

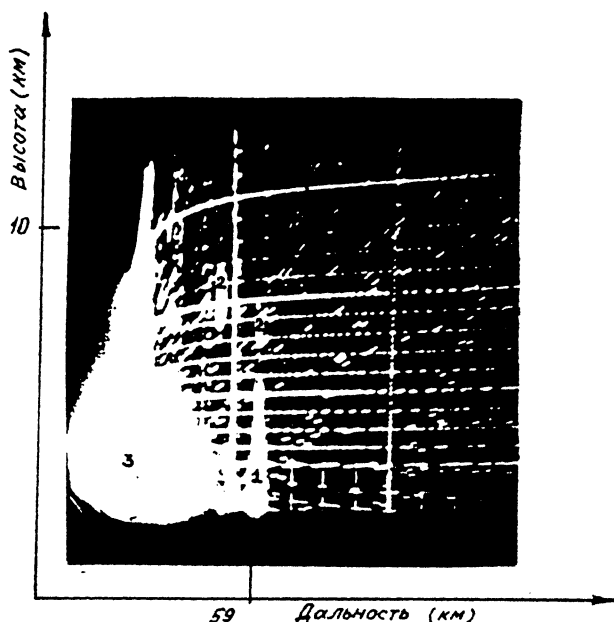


Рис. 1. Радиолокационное изображение радиоактивного выброса Запорожской АЭС 30.10.89 г (9<sup>00</sup>). 1 – выброс над трубой АЭС. 2 – облако, отделившееся от трубы в 6<sup>00</sup>. 3 – отражения от местных предметов, „местники“.

эффективной отражающей поверхности  $\sigma$  (включающих измерение величины  $\sigma$  контрольного объекта и отношения сигнал/шум приемно-передающего тракта) проведен на дальностях 11–65 км; отдельные измерения получены на дальности до 485 км. Типичная картина выброса (рис. 1) на экране локатора включает вертикальную „свечу“ 1 высотой до 10 км на дальности трубы (59 км), от которой со временем отделяются сдвигающиеся фрагменты 2. С повышением интенсивности выброса (параллельно контролируемой наземными датчиками) высота „свечи“ над трубой и число фрагментов ее деления увеличиваются (рис. 2, дальность 42 км, высота верхнего фрагмента 14 км).

Расчетное значение  $\sigma$ , при котором наблюдается отклик, равно [4]:

$$\sigma = (4\pi)^3 R^4 P_n m / P_p G^2 \lambda^2. \quad (1)$$

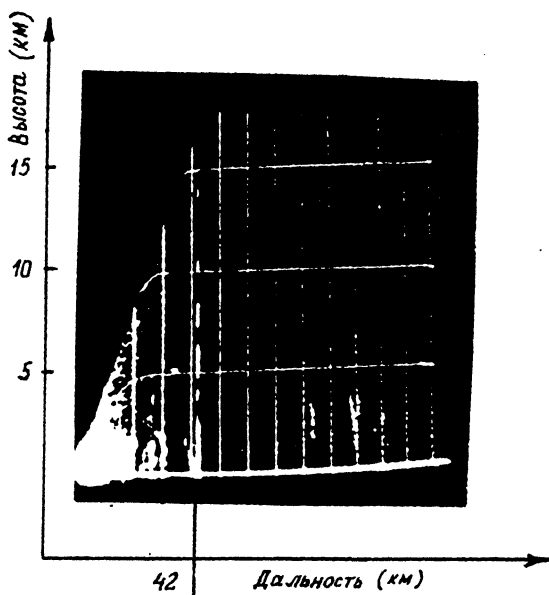


Рис. 2. Радиолокационное изображение радиоактивного выброса Смоленской АЭС 21.08.91 г.

Здесь  $\lambda$  - длина волны излучения,  $P_n = Nk_B T \Delta f$  ( $N$  - шум-фактор,  $k_B$  - постоянная Больцмана,  $\Delta f$  - полоса пропускания),  $m$  - отношение сигнал/шум по мощности; импульсная мощность передатчика  $P_p = \bar{P} \tau_r / \tau_p$ , где  $\bar{P}$  - средняя мощность,  $\tau_r$  и  $\tau_p$  - время повторения и длительность импульса излучения; коэффициент направленного действия антенны  $G = 4\pi A / \lambda^2$ , где эффективная площадь антенны  $A = \xi \pi \alpha_1 \alpha_2$ ,  $\xi$  - КПД антенны,  $2\alpha_{1,2}$  - азимутальный ( $\varphi_1$ ) и угломестный ( $\varphi_2$ ) размеры антенны:  $\alpha_{1,2} = 0.61 \lambda / \Delta \varphi_{1,2}$ . Оценка (1) при типичных условиях рис. 2 ( $\lambda = 6$  см,  $\bar{P} = 300$  Вт,  $\tau_r = 2.5$  мкс,  $\tau_p = 1.7$  мкс;  $R = 42$  км,  $m = 2.5 \cdot 10^3$ ,  $N = 12$ ,  $\Delta f = 2$  МГц,  $\xi = 0.4$ ,  $\Delta \varphi_1 = 2.3^\circ$ ,  $\Delta \varphi_2 = 0.5^\circ$ ) дает согласующиеся с контрольными измерениями значение  $\sigma = 5.1$  м<sup>2</sup>. При варьировании экспериментальных условий оценка (1) изменяется в диапазоне от 0.1 (уровень, определяющий чувствительность метода) до 100 м<sup>2</sup>. Интересно отметить, что по усредненным экспериментальным значениям  $\sigma$  удается классифицировать АЭС от Балаковской до Смоленской по степени загрязненности технологических выбросов.

Зависимость  $\sigma$  от степени ионизации облака  $n_i$  определяют механизмы ионизации и диффузии зарядов, геометрия как облака, так и источника ионизации. В принятой для атмосферы модели случайного распределения плотности зарядов [5] расчет дает:

$$\sigma \approx 0.2 V (\Delta \epsilon)^2 (L_0^2 \lambda)^{-1/3}, \quad (2)$$

где  $V = \pi r_0^2 L$  объем цилиндрического с радиусом  $r_0$  и длиной  $L$  облака,  $L_0 \approx 0.2 L$ . Средний квадрат флуктуаций диэлектрической проницаемости

$$(\Delta \epsilon)^2 = (Z_i^2 n_i \lambda^2 / \pi c^2 m_i)^2, \quad (3)$$

где  $n_i$ ,  $Z_i$ ,  $m_i$  - концентрация, заряд и масса ионов,  $c$  - скорость света. Приравнивая (1) и (2), можно оценить степень ионизации  $n_i$ ; для электронов в облаке с  $L = 3$  км,  $r_0 = 0.1$  км при  $\lambda = 6$  см это дает  $n_e \approx (10^8 - 10^9) \text{ см}^{-3}$  при  $\sigma = (1 - 100) \text{ м}^2$ . Доводом в пользу модели (2), (3) отчасти служит экспериментальная зависимость  $\sigma(\lambda)$ : усредненные данные для района Запорожской АЭС дают  $\sigma = 0.9, 3.3$  и  $24.7 \text{ м}^2$  при  $\lambda = 3, 6$  и  $12$  см.

Оценку степени ионизации атмосферы радионуклидным выбросом проводим в основной модели рекомбинации электронов [6]:

$$dn/dt = q - \alpha n^2, \quad (4)$$

где  $q$  - объемная скорость образования свободных электронов; эффективный коэффициент рекомбинации, с учетом весьма сложной кинетики зарядов в воздушной среде, принимает значения  $\alpha = 3 \times 10^{-7} - 3 \cdot 10^{-6} \text{ см}^3$  [6]. Стационарная концентрация из (4) -  $n = (q/\alpha)^{1/2}$ , причем оценки по данным [7, 8] указывают на преобладание вклада бета-ионизации  $q(\gamma) \approx 10^{-2} q(\beta)$  - пробег гамма-квантов превышает 100 м для основных линий радионуклидного выброса ( $\text{Xe}^{139}$ ,  $\text{Xe}^{135}$ ,  $\text{Kr}^{88}$ ), то есть существенная часть гамма-потока выходит из области шлейфа. Оценку  $q(\beta)$  получим в модели непрерывного воздушного длинного ( $h \gg r$ ) цилиндрического шлейфа над срезом трубы с радиусом  $r = 2$  м и осевым перемещением со скоростью  $v = 10$  м/с. Величину  $q(\beta)$  определяет сумма по всем изотопам и их линиям от произведения скоростей выброса  $A$ , энергий бета-излучения  $E$  и выходов  $\nu$  бета-излучения на один распад:

$$q = (\pi r^2 \cdot w v)^{-1} \sum A_i E_{ij} \nu_{ij}, \quad (5)$$

где  $w = 33.9$  эВ - работа ионизации молекул воздуха [7]. Учет основных изотопов выброса АЭС в технологическом режиме дает из (5) оценку  $q(\beta) \approx (10^4 - 10^5) \text{ с}^{-1} \text{ см}^{-3}$ , откуда следует, что

$n \approx (10^5 - 10^6) \text{ см}^{-3}$ . В аварийной ситуации значения  $A$  увеличиваются в  $10 - 10^2$  раз, при этом величина  $n$  может вырастать на порядок и более того.

Таким образом, представленные упрощенные модели ионизации воздуха выбросом радионуклидов и радиолокационного отклика ионизированного облака дает оценку  $\beta$ , близкую к данным локационных измерений.

Использованные модели требуют уточнения в понятных направлениях. Это, во-первых, учет более сложной, чем в (4), реальной кинетики слабоионизированного газа (зависимость, к тому же нестационарная, эффективного коэффициента рекомбинации  $\alpha$  от концентрации многих сортов ионов), включающей диффузию частиц в реальной, более сложной геометрии шлейфа. Самостоятельного исследования требуют элементарные процессы адсорбции зарядов молекулами и молекулярными комплексами атмосферы. На этой основе, во-вторых, должна быть уточнена модель (2), (3) радиолокационного отклика: корреляция актов переизлучения отдельными зарядами, в том числе связанными, зависит от кинетики их образования. В-третьих, и это требует нового цикла экспериментов, радиолокационную эффективность схемы, особенно по параметру пространственного разрешения, может существенно повысить использование короткоимпульсных передатчиков с большой импульсной мощностью [9]. Их использование, с другой стороны, представляется необходимым в экспериментальных исследованиях кинетики ионизации. Наконец, возможна реализация радиолокационных схем высокой чувствительности с включением в них когерентных оптических источников либо в качестве модуляторов для сверхширокополосных антенн [10], либо даже с переходом к оптическому каналу информации [11]. Здесь требуется, помимо уточнения теоретической модели, проведение модельных лабораторных экспериментов.

Авторы благодарны Ф.В. Бункину, А.Н. Диденко, Ю.П. Кулешову за полезные обсуждения.

#### С п и с о к л и т е р а т у р ы

- [1] Баранов В.Ф. Дозиметрия электронного излучения. М.: Атомиздат, 1974. 123 с.
- [2] Ляпидевский В.К. Методы детектирования излучений. М.: Энергоатомиздат, 1987. 234 с.
- [3] Единая государственная автоматизированная система контроля радиационной обстановки (ЕГАСКРО). Авантпроект, т. 2, кн. 2, М.: ЦНИИ „Комета“, 1990.
- [4] Современная радиолокация / Под ред. Ю.Б. Козырева, М.: Советское радио, 1969. 456 с.
- [5] Рытов С.М., Кравцов Ю.А., Таттарский В.И. Введение в статистическую радиофизику, ч. 2, М.: Наука, 1978. 386 с.

- [6] Френсис Г. Ионизационные явления в газах. М.: Атомиздат, 1964. 640 с.
- [7] Кимель Л.Р., Машкович В.П. Защита от ионизирующих излучений. Справочник, М.: Атомиздат, 1966. 250 с.
- [8] Бета-излучение продуктов деления. Справочник, М.: Атомиздат, 1978. 120 с.
- [9] Диденко А.Н., Новиков С.А., Разин С.В. Чумерин П.Ю., Юшков Ю.Г. // ДАН. 1991. Т. 321. № 3. С. 512-520.
- [10] Бахрах Л.Д., Блискавицкий А.А. // Квантовая электроника. 1988. Т. 15. № 5. С. 879-914.
- [11] Боярчук К.А., Кулешов Ю.П., Ляхов Г.А., Свирко Ю.П. // Письма в ЖТФ. 1991. Т. 17. В. 8. С. 5-8.

Институт общей физики  
РАН, Москва

Поступило в Редакцию  
24 февраля 1993 г.